

I-11 構造物のガスト応答に関する基礎的研究

徳島大学工学部 正員 宇都宮英彦
徳島大学大学院 学生員 橋本 孝夫
徳島大学大学院 学生員○安田 幸登

1. まえがき

本研究は、長大橋のガスト応答の研究として、自然風に含まれるさまざまなパラメータがどのように応答に影響をおぼしているかを部分模型、全橋模型（平板断面、正方形断面）を用いて実験的に見たいとするものである。実験は、鉄製の支持台を徳島大学工学部の5階屋上に据え付け、風向の比較的安定した冬期北西季節風で実施した。解析は、1分間データを用い、平均風速、乱れの強さ、分散、自己相関関数、パワースペクトル等を基礎として考慮を加えたが、複数階では、実験の性質上、および分析の精度に問題があることなどによって定性的な評価を行なうことに主眼を置いていた。

2. 自然風の統計的性質

風速記録は、熱線風速計、ギル型風速計を用いた。風速は、季節風の止め10m/sec前後まで測定された。Gust-Factorは、1.5~2.0の範囲であり、自己相関関数から計算された乱れのスケールは、5~50m程度である。乱れの強さは、1.0m/sec程度で、風速との間の負の相関は認められない。模型支持部付近の鉛直方向変動成分は、水平方向と比較すると無視できるほど小さかった。スペクトル解析を行なった結果、乱れの構造は、0~2Hzの低周波成分が大部分を占めている。

3. 部分模型実験

部分模型の諸元を表-1に示す。模型は、測定部中央で8本のバネで水平に支持し、E方向、ねじりの2自由度系とし、流れの2次元性を確保するために模型の両端に円形の端板を取り付けた。また、平板は端板のバネ支持点を移動させることによつて、振動数比を変化できるようにした。(P.-1, 2, 3)以下、各々5個の1分間データを解析した結果を述べる。

(i) 平板断面

振幅（標準偏差で評価）- 換算風速($V/b\omega_e$)を図-1に示す。白石の一樣流中での実験結果では、換算風速4付近からねじり応答幅が生じてこことから、換算風速4よりかなり低風速域での不規則振動は、ガストに起因するものだと考えらる。図中、E方向、ねじりの両モードの換算風速値が対応するモデルで異なるのは、連成振動が生じてこないことと示してある。応答モードに關係するパラメータとして、平均風速は、E方向応答とは成比例關係にあるが、ねじり応答には、このよう自關係はなし。E方向 P-2では、ほぼ比例關係が成立してくる。この場合、乱れのスケールが、他の2種のデータに比べて小さく、ねじりモードと、乱れのスケールの相関性を示唆してくると考えられる。乱れの強さは1.0m/sec前後であり、この影響を評価することはできぬ。

(ii) 正方形断面

Scruttonの安定図、および、準定常理論により得られた応答は、風琴振

模型	平 板			正 方 形
	P-1	P-2	P-3	
断面(mm)	高さ 3 × 幅 80			60 × 60
長さ(mm)	240			150
重 量(g)	236			406
固有振動数(Hz)	たわみ 5.35 ねじれ 5.75	5.37 6.96	5.37 8.87	5.45
対数減衰率	たわみ 0.019 ねじれ 0.019	0.020 0.033	0.021 0.023	0.008

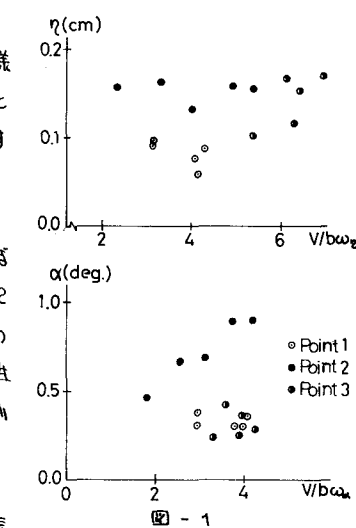


図-1

動)でなく Galloping 振動である。代表的危険算定風速(V_{bw})-換算風速を図-2に示す。比較のため、準定常理論より求めた危険曲線、A.Lanevill & G.V.Parkinson²⁾が示す。乱れ度9%、12%、16%の実験結果を示す。各点、実験範囲の乱れ度は9%~16%である。これにより、ガストは、乱れが大きくなるにつれて危険を抑制する効果があるが、飛躍風速は変化させないと考えられる。

4. 全橋模型実験

全橋模型の諸元を表-2、実験装置を図-3に示す。各断面

全橋模型は、スパン長(2m)を25分割して小柱をピアノ線で連結し(平移につけては3本、正方形断面につけては2本)ピアノ線の張力を調節することによって、下のみ、ねじり剛性を変化させた。危険度出用歪ゲージは、各点の面剛に計6個をバネ支持した。平移模型では、振動数比を変化させるために断面両側に10cmの長さの堅金属棒を取りつけ、バネ支持点がスライドできるようにした。正方形断面は、質量が大きいため歪ゲージ用バネと同時に模型をほぼ水平に保てるよう等間隔にバネを残した。風速は各点、面側4点の計3点で、模型前方30cmで測定した。振動モードは、下のみ1次、2次、ねじり1次(平移)が測定可能である。以下解剖結果を述べる。

(i) 平移断面

平移P-3の風下側各点、4点の下のみ振幅、ねじり振幅-換算風速を図-4に示す。風の状況は、部分模型の場合と同程度であることから乱れの強さ、乱れのスケールの影響は少ないと考えると、各点、下のみ、ねじりの4点の危険度も平均風速に支配されてくると思われるが、解析データ数が少ないので、確実的とは言えない。こちも風向の変化の影響を部分模型よりも一層敏感に受けやすく、ねじり軸が断面中心より風下側へ移動し、風上側の危険度が一歩づつ風下側へ移動することも、振動モード間の解析をする上で問題となってくる。

(ii) 正方形断面

得られたデータは、湍との周期状態における振動から Galloping 振動へ移行する過渡的不安定領域である。乱れが部分模型と同様、危険を抑制する効果があるか否かは比較データが残ったが論じえまい。平均風速と危険の振動モードとの間に、各点の平均風速が相対的に4点より高い場合は、下のみ1次が卓越し、逆の場合は、下のみ2次が卓越すると思われる。

5. むすび

全橋模型の場合には、乱れの空洞的構造が危険に対して重要な意味を持つと考えらるるが、こじにつけては、解析結果と共に、講義当日に付、補足して、考察を加えたいと考える。

6. 参考文献

- 1) 白石成久人."Fundamental investigations on vibrational and aerodynamic characteristics of long-spanned suspension bridge."
- 2) A.Lanevill and G.V.Parkinson."Effects of Turbulence on Galloping of Bluff Gliders." International wind Conference'71 Tokyo.

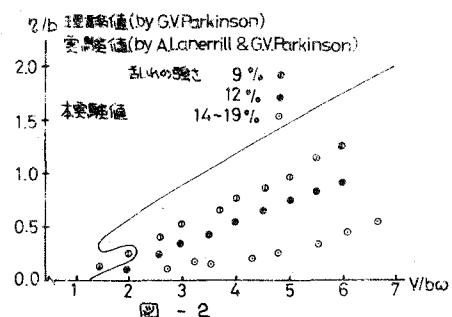


表-2

諸 量 型	平 板			正方 形
	P-1	P-2	P-3	
断面(mm)	高さ3 X 幅80		80	60x60
長さ(mm)	2000		2000	
重量(g)	642			3720
下のみ1次	6.5	6.85	6.65	4.42
ねじり2次	12.1	12.85	12.50	6.85
ねじり1次	6.5	8.30	10.40	
対数減衰率	0.015	0.019	0.012	0.006
たわみ2次	0.041	0.069	0.066	0.007
ねじり1次	0.060	0.053	0.042	

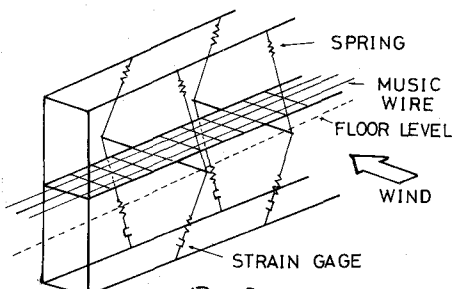


図-3

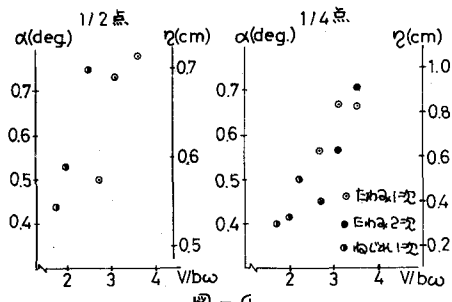


図-4